

# یک الگوریتم ردیابی خودرو مبتنی بر ویژگی با استفاده از گروه‌بندی سلسله‌مراتبی ادغام و تقسیم

حسین پور قاسم

دانشکده مهندسی برق، واحد نجف‌آباد، دانشگاه آزاد اسلامی، نجف‌آباد، اصفهان، ایران

## چکیده

ردیابی خودرو یکی از چالش‌های مهم در سیستم‌های حمل و نقل هوشمند جهت تخمین موقعیت خودرو در قاب بعدی از یک دنباله متوالی تصاویر از ویدئوهای نظارتی است. در این مقاله، یک الگوریتم ردیابی خودرو مبتنی بر ویژگی با استفاده از الگوریتم تخمین زننده ویژگی (KLT) Kanade-Lucas-Tomasi کیترش یافته است. در این الگوریتم، برای جایگزینی خودروها با ویژگی‌های ردیابی شده، یک الگوریتم گروه‌بندی دومرحله‌ای سلسله‌مراتبی ادغام و تقسیم پیشنهادی با تعریف معیارهایی همچون معیارهای فاصله، گستردگی و همچنین آنالیز حباب نتایج گروه‌بندی اولیه حاصل شده از الگوریتم خوشبندی K-means اصلاح می‌شود. علاوه‌بر این، جهت تصحیح عملکرد الگوریتم تخمین زننده ویژگی KLT و همچنین استفاده مناسب‌تر از نتایج گروه‌بندی الگوریتم پیشنهادی، یک الگوریتم کارآمد تطبیق گروه‌های ویژگی براساس نقشه ادغام و تقسیم جهت تطبیق گروه ویژگی‌های ردیابی شده از یک قاب به قاب بعد پیشنهاد می‌شود. در این الگوریتم تطبیق سعی شده است که با استفاده از ویژگی‌های منطبق شده بین دو قاب، خودروهای متناظر در آن دو قاب به درستی تطبیق داده شوند. الگوریتم ردیابی پیشنهادی بر روی ویدئوهای آزمایشی متفاوتی با شرایط سورپردازی متفاوت همچون روز، شب و وجود سایه ارزیابی می‌شود. نتایج حاصل نشان می‌دهد که الگوریتم ردیابی پیشنهادی اکثر چالش‌های مهم ردیابی خودرو در کاربردهای عملیاتی سامانه‌های حمل و نقل هوشمند را پوشش می‌دهد.

وازگان کلیدی: الگوریتم گروه‌بندی دومرحله‌ای سلسله‌مراتبی ادغام و تقسیم، الگوریتم تطبیق گروه‌ها مبتنی بر نقشه ادغام و تقسیم، الگوریتم ردیابی مبتنی بر ویژگی، سامانه حمل و نقل هوشمند.

## ۱- مقدمه

شدت روشنایی پس‌زمینه صحنه مورد نظر به‌طور تقریبی ثابت باشد، خودرو با یک عمل ساده تفاضل گیری قاب حاضر از قاب قبلی، شناسایی می‌گردد؛ اما اگر شدت روشنایی پس‌زمینه صحنه مورد نظر تابت نباشد، یک معیار شباهت می‌تواند عمل شناسایی را انجام دهد. معیار شباهت براساس خودرو انتخاب می‌شود (Asgarizadeh et al, 2015). Asgarizadeh et al, 2015).

چالش‌های مختلفی همچون انسداد<sup>۱</sup>، وجود سایه خودرو، تغییرات روشنایی و مقیاس، برخط‌بودن سامانه ردیابی و نیاز به عملیاتی‌بودن سامانه ردیابی در شرایط ۲۴ ساعته در

شناسایی و ردیابی خودرو یکی از مهم‌ترین نیازهای چالش‌های اساسی در کاربردهای بینایی رایانه، نظارت و کنترل حمل و نقل درون‌شهری و برون‌شهری به حساب می‌آید. ردیابی خودرو در فریم‌های متوالی ویدئو در دو مرحله اساسی انجام می‌گیرد: شناسایی خودرو و ردیابی خودرو در قاب بعد (Ahmed et al, 2008). به عبارت دیگر، عمل ردیابی به صورت تخمین یا پیش‌بینی مسیر حرکت خودروی متحرک در قاب‌های متوالی ویدئو تعریف می‌شود. الگوریتم‌های شناسایی خودرو به‌طور معمول از دو استراتژی برای تعیین موقعیت خودرو در هر قاب استفاده می‌کنند. اگر

<sup>۱</sup> Occlusion

مقیاس و چرخش شیء غیرحسنه اند. اما، در مورد اشیای غیرصلب یا یک شیء با شکل هندسی پیچیده، این الگوریتم‌ها عملکرد خوبی فراهم نمی‌کنند.

در الگوریتم‌های ریدیابی مبتنی بر مدل، شیء با تطبیق مدل‌های نگاشتشده شیء بر روی تصویر ریدیابی می‌شود. مدل‌های شیء نیز با اطلاع‌های قبلی مبتنی بر اندازه‌گیری‌های دستی یا روش‌های بینایی رایانه در حالت برون خط<sup>۱</sup> شکل می‌گیرد (Hu et al, 2004). برای مثال، گروه Karlsruhe (Koller et al, 1993) یک مدل سه‌بعدی خودرو به وسیله ویژگی لبه تولید کردند. مقدار اولیه برای پارامترهای ظاهر خودرو از روی تنباطاتی بین قسمت‌های یک تصویر و مدل نگاشتشده آن فراهم می‌شد. این تنباط نیز با استفاده از محدودیت‌های سازگار نقطه‌ای خودرو و قواعد خوشبندی محاسبه می‌شد. براساس تخمین MAP<sup>۲</sup> موقعیت خودرو با استفاده از روش بهینه‌سازی Levenberg-Marquardt (Marquardt 1963) به دست می‌آمد. عملکرد این الگوریتم وابستگی زیادی با صحت شناسایی لبه دارد.

الگوریتم‌های ریدیابی مبتنی بر ویژگی برای ریدیابی در شرایط تغییر مقیاس و چرخش شیء بیشتر از بقیه روش‌ها مناسب هستند (Kanhere et al, 2008; Lowe et al, 2004; Kanhere et al, 2008). این الگوریتم‌ها نمی‌توانند نقاط ویژگی را در تصاویر نوفه‌ای و مات پیدا کنند. با توجه به روش استخراج ویژگی مورد استفاده و همچین الگوریتم تشریح آنها، پیچیدگی محاسباتی این الگوریتم‌ها تغییر می‌کند. برای مثال، مؤلفان در (Kanhere et al, 2008)، یک روش برای ناحیه‌بندی و ریدیابی خودروها در ویدئو ارائه کردند. در این روش، با یک فرآیند کالیبراسیون، یک نگاشت کامل بین سه بعدی به دو بعد از سامانه مختصات جهانی به صفحه تصویر جهت تخمین مختصات سه‌بعدی ویژگی‌های خودرو مبتنی بر نگاشت خط عمودی فراهم می‌شود؛ سپس این ویژگی‌ها به دو دسته ویژگی‌های پایدار و ناپایدار مبتنی بر ارتفاع ویژگی‌ها در سامانه مختصات جهانی و موقعیت ویژگی‌ها بر روی خودرو دسته‌بندی می‌شود. در این دسته‌بندی، ویژگی‌هایی که بر روی جلوی خودرو و نزدیک سطح جاده قرار دارند، ویژگی‌هایی پایدار نامیده می‌شوند و بقیه ویژگی‌ها، ویژگی‌های ناپایدار در نظر گرفته می‌شوند. در ادامه نیز از

ریدیابی خودرو باعث شده است که کارآمدی و کارایی الگوریتم‌های ریدیابی خودرو براساس میزان عملکرد الگوریتم‌ها در مواجهه با این چالش‌ها ارزیابی شود.

با توجه به کاربرد وسیع ریدیابی خودرو، الگوریتم‌های مختلفی در کاربردهای مختلفی ارائه شده است. با وجود این، بهدلیل این که هر یک از آنها با در نظر گرفتن برخی فرض‌ها طراحی شده‌اند و فقط در یک شرایط خاص عمل می‌کنند، یک راه حل اساسی و کلی برای حل تمام مشکلات و چالش‌های ریدیابی خودرو وجود ندارد. برای مثال، تقریباً تمام الگوریتم‌های ارائه شده در شرایط نورپردازی شب به خوبی کار نمی‌کنند (Ahmed et al, 2008; Chien et al, 2007; Kanhere et al, 2008). با بررسی کارهای صورت گرفته در این زمینه می‌توان الگوریتم‌های ریدیابی خودرو را در چهار دسته مهم طبقه‌بندی کرد: (۱) ریدیابی مبتنی بر ناحیه (Asgarizadeh et al, 2000; Loza et al, 2007; et al, 2015)، (۲) ریدیابی مبتنی بر کانتور فعال (Ahmed et al, 2008; Paragios et al, 2000; Yilmaz et al, 2004)، (۳) ریدیابی مبتنی بر ویژگی (Lowe et al, 2004; Kanhere et al, 2008)، (۴) ریدیابی مبتنی بر مدل (Tomasi et al, 1991; Tian et al, 2014; Shi et al, 1994; Wu et al, 2004) و (Tan et al, 1998; Gardner et al, 1996).

(Kalal et al, 2010; Prioletti et al, 2013; 1993). در ریدیابی مبتنی بر ناحیه، پنجره هدف در کل تصویر حرکت می‌کند و معیار شیاهت در هر مکان تصویر محاسبه می‌شود. نقطه‌ای در تصویر که دارای بیشترین مقدار شیاهت با پنجره هدف است به عنوان موقعیت جدید هدف در نظر گرفته می‌شود. اگر مقدار حداقل شیاهت از یک آستانه‌ای کوچک‌تر باشد در آن صورت آن هدف به عنوان هدف گم شده تلقی می‌شود. اگر مقدار حداقل شیاهت از یک آستانه‌ای کوچک‌تر باشد در آن صورت آن هدف به عنوان هدف جدید هدف در قاب بعد به روز می‌شود (Asgarizadeh et al, 2015). معیار همبستگی<sup>۳</sup> و نسخه‌های اصلاح شده آن همچون همبستگی هنجارسازی شده<sup>۴</sup> (Ahmed et al, 2008) و همبستگی مقابل هنجارسازی شده<sup>۵</sup> (Chien et al, 2000) غالباً در روش‌های مبتنی بر تطبیق الگو به عنوان معیار شیاهت به کار گرفته شده‌اند (Mazrouei et al, 2012).

در الگوریتم‌های ریدیابی مبتنی بر کانتور، کانتور شیء با حداقل کردن انرژی تعریف شده کانتور استخراج می‌شود

<sup>1</sup> Correlation

<sup>2</sup> Normalized Correlation

<sup>3</sup> Normalized Cross Correlation

<sup>4</sup> off line

<sup>5</sup> Maximum A Posterior



استفاده کردند تا تعداد زیادی از مسیرهای حرکت خودرو را تولید کنند و بدین‌وسیله نتایج گروه‌بندی اصلاح شود. در (Yang et al, 2009)، مسئله گروه‌بندی ویژگی‌ها برای شناسایی و ردیابی خودرو به صورت یک مسئله MAP فرموله شده است. در ادامه با نمونه‌برداری MCMC<sup>2</sup>، مسئله MAP حل می‌شود.

همان‌گونه که در قبل نیز اشاره شد، وجود سایه خودروها، تغییر مقیاس و نورپردازی، کاربردهای برخط شباهه‌روزی ردیابی از چالش‌های مهم در ردیابی خودرو هستند. برای غلبه بر این مشکلات، ما یک الگوریتم ردیابی خودرو مبتنی بر ویژگی را پیشنهاد می‌دهیم. در این الگوریتم، برای مدیریت مشکلات گروه‌بندی در الگوریتم‌های ردیابی مبتنی بر ویژگی، یک الگوریتم گروه‌بندی دو مرحله‌ای سلسه‌مرانی براساس یک خوش‌بندی اولیه و یک مجموعه از عملیات‌های پس‌پردازش مبتنی بر فشرده‌گی و گستردگی خوش‌های و همچنین موقعیت خودروها در صحنه پیشنهاد Harris می‌شود. برای جایگزینی خودروها از ویژگی‌های گوشش KLT<sup>3</sup> استفاده می‌شود و همچنین ردیاب و تخمین زننده KLT (Shi et al, 1994) جهت ردیابی ویژگی‌ها در فریمهای متواالی ویدئو بکار گرفته می‌شود. علاوه بر این، یک الگوریتم کارآمد و جدید تطبیق گروه‌ها جهت انتقال گروه‌های ردیابی شده از یک فریم به فریم بعد پیشنهاد می‌شود تا عملکرد ردیاب ویژگی KLT و همچنین نتایج حاصل از الگوریتم گروه‌بندی پیشنهادی نیز بهبود یابد.

بقیه مقاله به صورت زیر سازماندهی شده است: بخش دو الگوریتم پیشنهادی ردیابی خودرو را با جزئیات تشریح می‌کند. در این قسمت جزئیات تخمین پس‌زمینه، استخراج گروه‌بندی ویژگی‌ها و تطبیق گروه‌ها تشریح می‌شود. نتایج حاصل از الگوریتم پیشنهادی در بخش سه آورده شده است. بخش چهار نیز یک جمع‌بندی روی این کارائیه می‌کند.

## ۲- الگوریتم ردیابی خودرو مبتنی بر ویژگی

شکل ۱-۲)، روندمای الگوریتم پیشنهادی ردیابی خودرو مبتنی بر ویژگی را نشان می‌دهد. در این روندمای، فریمهای متواالی ویدئو وارد الگوریتم می‌شوند و موقعیت هر خودرو در هر فریم مشخص می‌شود. فرآیند ردیابی در یک ناحیه‌ای (ROI) که کاربر مشخص می‌کند، انجام می‌گیرد. ROI به دو

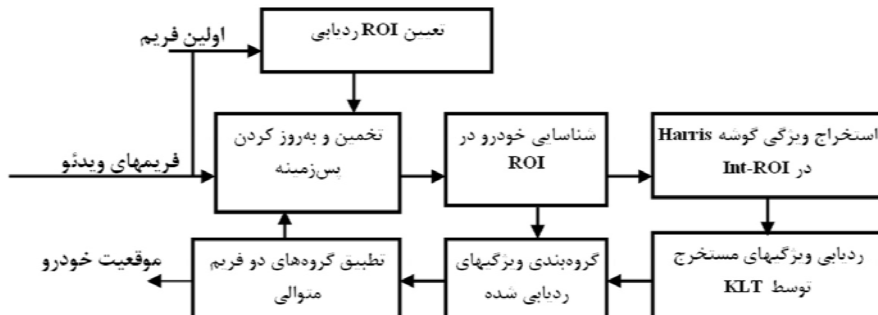
این ویژگی‌ها جهت گروه‌بندی خودروها و شمارش خودروها استفاده می‌شود. این الگوریتم یک روش کالیبراسیون دقیق برای استخراج پارامترهای کالیبراسیون دوربین نیاز دارد و همچنین این الگوریتم‌ها و فرآیندهای باید برای هر جاده به صورت جداگانه انجام پذیرد (یعنی الگوریتم وابسته به کاربرد است). علاوه‌بر این، معیار دوم تعیین ویژگی‌های پایدار یعنی معیار موقعیت ویژگی بر روی خودرو، در مورد جاده‌هایی که در امتداد شرق به غرب کشیده شده‌اند و همچنین در شرایطی که یک خودرو توسط خودروی دیگر پوشیده شده باشد، چهار مشکل اساسی می‌شود. در یک کار دیگر، در (Choi et al, 2007)، یک الگوریتم ردیابی با ناحیه‌بندی quad-tree و تبدیل ویژگی نامغایر با مقیاس<sup>۱</sup> برای استخراج پارامترهای ترافیکی ارائه شده است. در (Kim, 2008)، یک الگوریتم شناسایی و ردیابی خودرو مبتنی بر ترکیب تفاضل پس‌زمینه و ردیابی ویژگی و الگوریتم‌های گروه‌بندی چندسطحه پیشنهاد شده بود. برای گروه‌بندی کارآمد ویژگی‌ها یک الگوریتم گروه‌بندی چندسطحه استفاده شد که در ابتدا ویژگی‌های گوشش به خوش‌های کوچک با الگوریتم Normalized-Cut گروه‌بندی می‌شد. سپس این خوش‌های کوچک به ویژگی‌هایی در سطح شیء گروه‌بندی می‌شود.

بیشترین چالش‌ها در الگوریتم‌های ردیابی مبتنی بر ویژگی، گروه‌بندی ویژگی‌های ردیابی شده برای شکل‌گیری یک خودرو است. الگوریتم‌های گروه‌بندی اغلب به اشتباه، خودروهای نزدیک بهم را در یک گروه دسته‌بندی می‌کنند. یا یک خودروی بزرگ را به دو خودرو دسته‌بندی می‌کنند. این عملکرد ضعیف به دلیل توزیع غیریکنواخت ویژگی‌ها در سرتاسر خودرو در بسیاری از موارد پذیدار می‌شود. علاوه‌بر این، به دلیل وجود اثر پرسپکتیو، فاصله بین خودروها در سراسر ناحیه مورد نظر ردیابی تغییر می‌کند که این امر عملکرد الگوریتم‌های کلاسیک خوش‌بندی را تنزل می‌دهد. تلاش‌های زیادی برای حل این مسئله انجام شده است. برای مثال آقای Kanhere و همکارانش (Kanhere et al, 2008)، می‌استفاده از تخمین ارتفاع ویژگی در سامانه مختصات جهانی و موقعیت ویژگی بر روی خودرو، ویژگی‌های مناسب را برای گروه‌بندی انتخاب می‌کنند. در یک کار دیگر، برای غلبه بر این مشکل، یک روش گروه‌بندی چندسطحه را به کار می‌گیرند (Malik and Kim, 2008). آقایان Kim و Malik (Kim et al, 2003)، یک الگوریتم شناسایی خودرو مبتنی بر مدل

<sup>1</sup> Shift Invariant Feature Transform

می شود. درنهایت، ویژگی های مستخرج ردهایی شده از خودروها گروه بندی می شود و تطابق بین گروه های دو قاب متواالی انجام می گیرد تا اینکه موقعیت هر خودرو مشخص شود. در ادامه، جزئیات الگوریتم پیشنهادی ردهایی خودرو تشریح می شود.

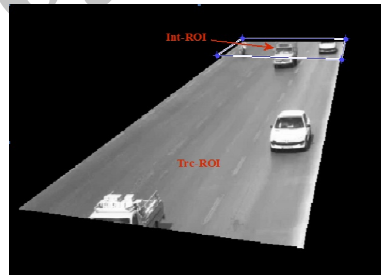
ناحیه ROI اولیه (Int-ROI) برای شناسایی خودروها و استخراج ویژگی از خودروهای شناسایی شده و ناحیه ROI ردهایی (Trc-ROI)، برای ردهایی خودروهای شناسایی شده در Int-ROI تقسیم می شود. این دو ناحیه به وسیله کاربر در اولین فریم از ویدئو تعیین می شود. شکل (۲-۲) این دو ناحیه را بر روی اولین قاب ویدئو نشان می دهد. برای اولین بار، تخمین پس زمینه از روی یکصد قاب اولی ویدئو انجام می شود و در ادامه پس زمینه در هر قاب از ویدئو به روز



(شکل-۲-۱): روند نمای الگوریتم پیشنهادی ردهایی خودرو مبتنی بر ویژگی

## ۱-۲- تخمین و بهروزرسانی پس زمینه

جهت شناسایی اشیای متحرک در قاب های متواالی ویدئو، پس زمینه تخمین زده می شود تا این که خودروهای متحرک با تفاضل گیری هر قاب از قاب پس زمینه شناسایی شود. پس زمینه نیز با میانگین گیری بر روی یکصد قاب از آخرین قاب های ویدئو تخمین زده می شود. شکل (۳-۲) پس زمینه تخمین زده از روی یکصد قاب آخری را نشان می دهد (Moghimi et al, 2014).



(شکل-۲-۲): دو ناحیه Trc-ROI و Int-ROI بر روی اولین قاب

## ۲-۲- شناسایی خودرو

حباب های<sup>۱۰</sup> پیکسل های متحرک با تفاضل گیری قاب حاضر از تصویر پس زمینه تخمین زده شده، مشخص می شود. جهت یکپارچه کردن پیکسل های متحرک و ساختن خودروهای متحرک، عمل گرهای ریخت شناسی همچون بستن، باز کردن و ضخیم سازی بر روی تصویر پیش زمینه به کار گرفته می شود (Majidi et al, 2012, Moghimi et al, 2015). شکل (۴-۲) (Moghimi et al, 2014).



(شکل-۲-۳): پس زمینه تخمین زده از روی یکصد قاب اولی ویدئو

<sup>10</sup> blob

ممان دوم است که به طور معمول برای نمایش گرادیان تصویر در پردازش تصویر استفاده می شود.

$$X = I(x, y) * (-1, 0, 1) = \frac{\partial I}{\partial x} \quad (1)$$

$$Y = I(x, y) * (-1, 0, 1)^T = \frac{\partial I}{\partial y} \quad (2)$$

که  $I(x, y)$ ,  $X$  و  $Y$  به ترتیب تصویر اصلی و تصاویر گرادیان در جهت های افقی و عمودی هستند. عملگر  $* \nabla$  عمل گر کالولوشن است. ماتریس Harris  $M$  نیز به صورت زیر محاسبه می شود:

$$M = \begin{bmatrix} A_{X,Y} & C_{X,Y} \\ C_{X,Y} & B_{X,Y} \end{bmatrix} \quad (3)$$

که

$$A_{X,Y} = X^2 * \omega \quad (4)$$

$$B_{X,Y} = Y^2 * \omega \quad (5)$$

$$C_{X,Y} = (XY) * \omega \quad (6)$$

که  $\omega$ , یک تابع هموارسازی گوسین دوبعدی است که به صورت زیر تعریف می شود:

$$\omega = \exp(-(x^2 + y^2) / 2\sigma^2) \quad (7)$$

دترمینان و تریس ماتریس ممان مرتبه دوم  $M$  نیز به صورت زیر محاسبه می شود:

$$Det(M) = A_{X,Y}B_{X,Y} - C_{X,Y}^2 \quad (8)$$

$$Trace(M) = A_{X,Y} + B_{X,Y} \quad (9)$$

نهایتاً، پاسخ Harris براساس رابطه زیر محاسبه می شود:

$$R_H = Det(M) - kTrace^2(M) \quad (10)$$

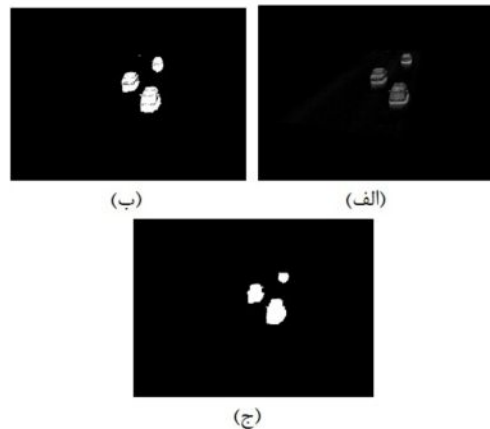
که  $k$  یک عدد ثابت است (به طور معمول  $4 \times 10^{-4}$ ). مقادیر پاسخ Harris، نوع هر پیکسل  $(x, y)$  را مشخص می کند. اگر  $R_H$  مثبت باشد، پیکسل گوش خواهد بود؛ اما اگر  $R_H$  منفی یا کوچک باشد، پیکسل یا بر روی Manoochehri et al, (2012). پس از استخراج ویژگی گوش از قاب پس زمینه، ویژگی های استخراج شده از پس زمینه و ویژگی های خارج از ناحیه ردیابی (ROI) حذف می شود. تنها ویژگی های گوش ای که بر روی خودروهای متحرک واقع شده اند، باقی خواهند ماند.

#### ۴-۲- ردیابی ویژگی های مستخرج با استفاده از KLT

در این مقاله، جهت تخمین موقعیت خودروها در هر قاب از قاب های متواالی از ردیاب ویژگی KLT (Shi et al, 1994)

#### ۳-۲- استخراج ویژگی گوش

ویژگی گوش، نقاطی در تصویر هستند که بیان گر تغییرات شدیدی از سطح خاکستری در یک همسایگی هستند. بنابراین این نقاط نسبت به بقیه نقاط همسایگی دارای بر جستگی هستند. عمل گرهای شناسایی گوش در دو بخش تقسیم می شوند: (۱) مبتنی بر منحنی و (۲) مبتنی بر شدت روش نایابی. عمل شناسایی گوش مبتنی بر منحنی براساس شناسایی حداقل انحنا انجام می گیرد؛ اما در روش مبتنی بر شدت روش نایابی، وجود یک گوش به وسیله سطح خاکستری تخمین زده می شود (Kitchen et al, 1982). در این مقاله، یک روش استخراج گوش مبتنی بر شدت روش نایابی (روش Harris) جهت استخراج ویژگی های خودرو استفاده شده است. ویژگی های گوش خودروهای متحرک به عنوان فریم تکرار می شوند، در نظر گرفته می شوند. این ویژگی ها برای ردیابی خودرو در قاب های متواالی ویدئو مناسب هستند. عمل گر استخراج گوش تحت عنوان عملگر Plessey Moravec, Harris et al, 1988 (1977). این عملگر می تواند موقعیت یک پیکسل را شناسایی کند؛ به صورتی که این پیکسل بر روی لبه قرار دارد، بر روی گوش قرار دارد یا این که یک نقطه از یک ناحیه پس زمینه است.



(شکل ۴-۲): نتایج شناسایی خودرو، (الف) تصویر سطح خاکستری پیش زمینه، (ب) تصویر باینری پیش زمینه، (ج) حباب خودروها بعد از عملیات ریخت شناسی.

این عمل گر، ماتریس  $Harris$ ,  $M$  را برای هر پیکسل در تصویر محاسبه می کند. ماتریس  $Harris$  یک ماتریس

که  $-1 \leq 2y \leq n_y^{L-1} - 1$  و  $0 \leq 2x \leq n_x^{L-1}$  است.  
اندازه تصویر هرمی در سطح  $L$  مبتنی بر اندازه تصویر در سطح  $L-1$  به صورت زیر است:

$$n_x^L \leq \frac{n_x^{L-1} + 1}{2}, n_y^L \leq \frac{n_y^{L-1} + 1}{2} \quad (13)$$

برای مثال، برای یک تصویر  $I$  با اندازه  $480 \times 640$  تصویر  $I^1, I^2, I^3$  و  $I^4$  به ترتیب دارای اندازه های  $80 \times 60, 160 \times 120, 320 \times 240$  و  $40 \times 30$  می باشند. برای  $u^L = [u_x^L, u_y^L]^T$ ،  $L = 0, \dots, L_m$  بر روی تصویر هرمی  $I^L$  را نشان می دهد.

بردارهای  $u^L$  به صورت زیر محاسبه می شوند:

$$u^L = \frac{u}{2^L} \quad (14)$$

فرض کنید که یک گمان اولیه برای شار نوری در سطح  $L$ ، به صورت  $g^L = [g_x^L, g_y^L]^T$  در دسترس است که از محاسبات سطح  $L-1$  به دست می آید. الگوریتم در ابتدا با یک تخمین اولیه برای سطح  $L_m$  تا صفر به صورت  $g^{L_m} = [0, 0]^T$  در نظر گرفته می شود. راه حل شار نوری نهایی  $d$  بعد از محاسبه کوچکترین شار نوری به صورت زیر در دسترس خواهد بود:

$$d = g^0 + d^0 = \sum_{L=0}^{L_m} 2^L d^L \quad (15)$$

در نهایت، می توان فرآیند محاسبه هرمی شار نوری در سطح  $L_m$  را به صورت زیر خلاصه کرد:  
برای  $L = L_m$  تا صفر با گام (۱-)

$$\begin{aligned} & \text{موقعیت نقطه } u \text{ بر روی تصویر } I^L \\ & u^L = [p_x, p_y]^T = u / 2^L \\ & \text{مشتق } I^L \text{ نسبت به } x: \\ & I_x(x, y) = \frac{I^L(x+1, y) - I^L(x-1, y)}{2} \\ & \text{مشتق } I^L \text{ نسبت به } y: \\ & I_y(x, y) = \frac{I^L(x, y+1) - I^L(x, y-1)}{2} \end{aligned}$$

ماتریس گرادیان مکانی به صورت زیر:  

$$G = \sum_{x=p_x-w_x}^{p_x+w_x} \sum_{y=p_y-w_y}^{p_y+w_y} \begin{bmatrix} I_x^2(x, y) & I_x(x, y)I_y(x, y) \\ I_x(x, y)I_y(x, y) & I_y^2(x, y) \end{bmatrix}$$

مقداردهی اولیه برای محاسبه شار نوری:  
 $\bar{v}^0 = [0, 0]^T$

استفاده می شود. این روش معیاری از تطبیق بین پنجره های ویژگی اندازه ثابت در قاب های قبلی و جاری به صورت مجموع مربع های تفاضل های شدت روشنایی پیکسل ها بر روی پنجره ها تعریف می کند. جایه جایی با حداقل سازی این مجموع تعریف می شود. برای حرکت های کوچک، خطی سازی شدت روشنایی تصویر به سمت حداقل سازی نیوتون-رافسون سوق پیدا می کند. برای پیاده سازی این ردیاب، یک جایگزینی هرمی تصویر برای محاسبه شار نوری <sup>۱۱</sup> استفاده می شود. در ادامه این الگوریتم با جزئیات تشریح می شود..

پیکسل  $[u_x, u_y]^T$  بر روی تصویر اول  $I$  با اندازه  $n_x \times n_y$  را در نظر بگیرید. هدف ردیابی ویژگی، پیدا کردن موقعیت  $v = u + d = [u_x + d_x, u_y + d_y]^T$  بر روی تصویر دوم  $J$  به صورتی که  $I(v)$  و  $J(v)$  مشابه باشند، است. بردار  $d = [d_x, d_y]^T$  در راستای افقی و عمودی است. بردار جایه جایی ویژگی  $d$  به صورتی تعریف می شود که این بردار،تابع باقی مانده را که به صورت زیر بیان می شود حداقل کند (Shi et al, 1994):

$$\mathcal{E}(d) = \mathcal{E}(d_x, d_y) = \sum_{x=u_x-w_x}^{u_x+w_x} \sum_{y=u_y-w_y}^{u_y+w_y} (I(x, y) - J(x+d_x, y+d_y))^2 \quad (11)$$

که  $(2w_x + 1) \times (2w_y + 1)$  یک همسایگی از تصویر است که جایه جایی ویژگی  $d$  در آن محاسبه می شود. برای  $w_x$  و  $w_y$  به طور معمول مقادیر ۲، ۳، ۴، ۵ و ۷ انتخاب می شود.

در یک جایگزینی هرمی از تصویر فرض کنید که  $I^0 = I$  تصویر سطح صفر با طول و عرض  $n_x^0 = n_x$  و  $n_y^0 = n_y$  است. در این جایگزینی،  $I^0$  از روی  $I^1$  و  $I^2$  روزی  $I^1$  و به همین ترتیب الی آخر محاسبه می شود. تصویر  $I^{L-1}$  به صورت زیر تعریف می شود (Shi et al, 1994):

$$\begin{aligned} I^L(x, y) &= \frac{1}{4} I^{L-1}(2x, 2y) + \\ & \frac{1}{8} (I^{L-1}(2x-1, 2y) + I^{L-1}(2x+1, 2y) + \\ & I^{L-1}(2x, 2y-1) + I^{L-1}(2x, 2y+1)) + \\ & \frac{1}{16} (I^{L-1}(2x-1, 2y-1) + I^{L-1}(2x+1, 2y+1) + \\ & I^{L-1}(2x-1, 2y+1) + I^{L-1}(2x+1, 2y-1)) \end{aligned} \quad (12)$$

<sup>۱۱</sup> Optical Flow

موقعیت نقطه روی تصویر  $J$ :  $v = u + d$  موقعیت هر ویژگی با کمک الگوریتم ریدیاب KLT، موقعیت هر ویژگی مستخرج از خودروهای متحرک تخمین زده می‌شود. شکل ۵-۲-الف) برخی ویژگی‌های مستخرج از خودروهای متحرک در یک قاب به همراه موقعیت تخمین‌زده شده این ویژگی‌ها در قاب بعدی را نشان می‌دهد.

**۳-۵-۲-الگوریتم پیشنهادی گروه‌بندی دو مرحله‌ای** بعد از ریدیابی ویژگی‌های خودروهای متحرک در هر قاب، باید مشخص شود که هر ویژگی ریدیابی شده متعلق به کدام خودرو در هر قاب است. برای این منظور، ویژگی‌های ریدیابی شده در هر قاب با یک الگوریتم خوشبندی گروه‌بندی می‌شود. در این مقاله، یک نقشه گروه‌بندی شامل خوشبندی اولیه با استفاده از الگوریتم K-means و یک مجموعه از پس‌پردازش‌های تقسیم و ترکیب بر روی نتایج خوشبندی اولیه مبتنی بر معیارهای فاصله و گستردگی و برچسب‌های پیش‌زمینه طراحی شده و به کار گرفته می‌شود. شکل ۶-۲-۶) روند نمای الگوریتم پیشنهادی گروه‌بندی را نشان می‌دهد. در ادامه، جزئیات این الگوریتم تشریح می‌شود.

### ۳-۵-۲- خوشبندی اولیه با استفاده از الگوریتم K-means

الگوریتم K-means یکی از رایج‌ترین الگوریتم‌های خوشبندی است. در این الگوریتم، فرض می‌شود که تعداد خوشبندی‌ها  $K$  مشخص است. این الگوریتم یک الگوریتم تکراری است که در هر تکرار مراکز خوشبندی بدروز می‌شود.

فرض کنید که باید به  $K$  خوشبندی مجموعه داده باشد که باید به  $K$  خوشبندی شود.  $z_i^k$  نیز  $i$  امین مرکز خوشبندی است، در تکرار  $k$ ام و همچنین  $j$ ،  $j$  امین خوشبندی در تکرار  $k$ ام است. این الگوریتم به صورت زیر خلاصه می‌شود:

$$1-\text{مراکز خوشبندی اولیه } Z^1 = \{z_1^1, z_2^1, \dots, z_K^1\} \text{ انتخاب می‌شود.}$$

۲- در تکرار  $k$ ام، نمونه‌های  $X$  در  $K$  خوشبندی با رابطه زیر توزیع می‌شود:

$$x_i \in S_j^k \text{ if } \|x_i - z_j^k\| < \|x_i - z_l^k\| \forall l = 1, 2, \dots, K \quad (16)$$

۳- مراکز خوشبندی با رابطه زیر محاسبه می‌شود:

برای  $k=1$  تا  $K$  با گام یک (یا تا این که  $\|\bar{\eta}^k\|$  کوچک‌تر از یک آستانه‌ای) تفاضل تصویر:

$$\delta I_k(x, y) = I^L(x, y) -$$

$$J^L(x + g_x^L + v_x^{k-1}, y + g_y^L + v_y^{k-1})$$

بردار عدم تطبیق تصویر:

$$\bar{b}_k = \sum_{x=p_x-w_x}^{p_x+w_x} \sum_{y=p_y-w_y}^{p_y+w_y} \begin{bmatrix} \delta I_k(x, y) I_x(x, y) \\ \delta I_k(x, y) I_y(x, y) \end{bmatrix}$$

شار نوری:  $\bar{\eta}^k = G^{-1} \bar{b}_k$

گمان برای تکرار بعدی:

$$\bar{v}^k = \bar{v}^{k-1} + \bar{\eta}^k$$

پایان حلقه  $k$ .

بردار شار نوری نهایی در سطح  $L$ :

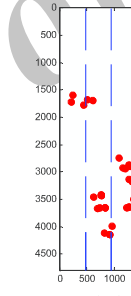
$$d^L = \bar{v}^K$$

گمان برای سطح بعدی  $L-1$

$$g^{L-1} = [g_x^{L-1}, g_y^{L-1}]^T = 2(g^L + d^L)$$

پایان حلقه  $L$ .

بردار شار نوری نهایی:  $d = g^0 + d^0$



(ب)



(الف)



(ج)

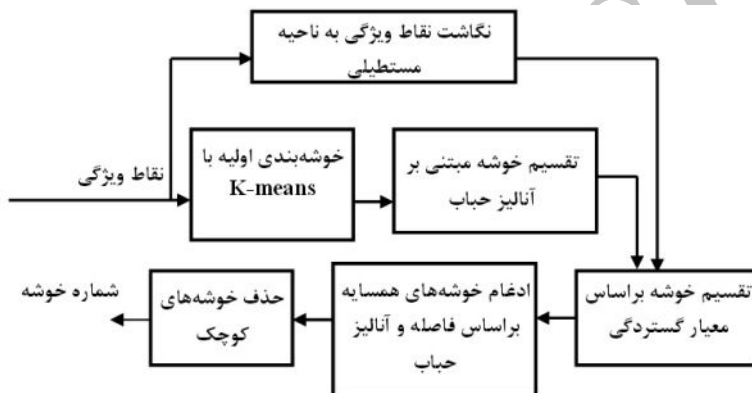
(شکل ۵-۲-۶): نتایج پردازش ویژگی، (الف) ویژگی‌های ریدیابی و استخراج شده در دو قاب متواالی، نقاط قرمز و آبی به ترتیب نقاط ویژگی Harris در فریم جاری و نقاط ریدیابی شده در فریم بعدی با KLT، (ب) ویژگی‌های نگاشتشده نقاط قرمز در (الف) در فضای نگاشتشده و (ج) نتایج گروه‌بندی نقاط قرمز در (الف) با الگوریتم پیشنهادی

تعداد خودروهای متحرک از روی تصویر پیش‌زمینه برچسب‌خورده محاسبه می‌شود. توجه کنید که اشیای با مساحت کمتر از ۵۰ پیکسل کنار گذاشته می‌شوند و اشیای با پهنه‌ای بیشتر از ۱/۵ برابر پهنه‌ای باند (فاصله بین دو خط موازی در جاده باند تعریف می‌شود. جاده‌هایی که در آزمایش‌ها به کار گرفته شده‌اند دو یا سه باند دارند. به‌طور نمونه جاده در شکل (۵-۲) دارای ۳ باند است که در شکل (۵-۲-ب) با دو خط‌چین موازی مشخص شده است). نیز به عنوان دو خودرو (به‌دلیل چسبیدن دو خودروی مجاور در تصاویر پیش‌زمینه) تلقی می‌شوند. درنهایت، با الگوریتم K-means، ویژگی‌های گوشه رديابی شده گروه‌بندی شده و به یک خوش نسبت داده می‌شوند.

$$\mathbf{z}_j^{k+1} = \frac{1}{|S_j^k|} \sum_{\mathbf{x} \in S_j^k} \mathbf{x} \quad (17)$$

۴- اگر جایه‌جایی مراکز خوش‌های  
 $\frac{1}{K} \sum_j \|z_j^k - z_j^{k+1}\| < th$ ) کمتر از یک حد آستانه‌ای بود، در آن صورت الگوریتم همگرا شده است؛ در غیر این صورت برو به گام ۲.

در کاربرد ما،  $x_i, i = 1, 2, \dots, n$ ، بردارهای دو بعدی به صورت  $[col, row]$  است که  $x_i = [col, row]$  موقعیت خوش‌های در جهت‌های  $\mathbf{x}$  و  $\mathbf{y}$  صفحه تصویر هستند. برای خوش‌بندی اولیه ویژگی‌های رديابی شده با الگوریتم K-means، یک تخمین اولیه از تعداد خودروهای متحرک ( $K$ ) در هر قاب در ناحیه Trc-ROI نیاز است. برای این منظور،



(شکل-۲-۶): روندnamای الگوریتم گروه‌بندی پیش‌نهاودی

ویژگی‌های رديابی شده از نقشه تصویر به یک ناحیه مستطیلی نگاشت می‌شود تا اینکه اثر پرسپکتیو بر روی ویژگی‌ها از بین برود. برای نگاشت ویژگی‌ها، یک تبدیل پروجکتیو<sup>۱</sup> دو بعدی (Norollah et al., Nejati et al, 2014) در (2012) جهت نگاشت ویژگی‌ها به یک ناحیه مستطیلی به کار گرفته می‌شود. شکل (۵-۲-ب) یک مجموعه ویژگی در پلان تصویر و ویژگی‌های نگاشت شده در فضای نگاشت را برای حذف اثر پرسپکتیو نشان می‌دهد.

بعد از نگاشت ویژگی‌ها به فضای نگاشتشده، گستردگی خوش‌ها در دو جهت افقی و عمودی محاسبه می‌شود. برای این منظور گستردگی خوش  $i$  در راستای افقی به صورت زیر محاسبه می‌شود:

$$Spready(C_i) = \max(y_j) - \min(y_j); \quad \forall j \in C_i \quad (18)$$

۲-۵-۲- تقسیم خوش مبتنی بر آنالیز حباب  
 بعد از نسبت‌دادن برچسب خوش‌ها به ویژگی‌های رديابی شده با الگوریتم K-means، این خوش‌بندی اولیه با چندین نقشه ادغام و تقسیم اصلاح می‌شود. در اولین گام، هر خوش که نقاط ویژگی درون آن خوش بر روی دو حباب مجزا در تصویر پیش‌زمینه قرار دارد به دو خوش براساس برچسب تصویر پیش‌زمینه تقسیم می‌شود.

۳-۵-۲- تقسیم خوش براساس معیار گستردگی  
 در دومین گام از پس‌پردازش بر روی خوش‌بندی اولیه، خوش‌ها براساس معیار گستردگی تقسیم می‌شوند. در این مقاله، گستردگی ویژگی‌ها در فضای نگاشت شده به عنوان معیار گستردگی در نظر گرفته می‌شود. برای هنجارسازی کردن فواصل بین خوش‌ها و همچنین ویژگی‌ها،

<sup>1</sup> Projective



## ۶-۲- تطبیق گروه‌ها

پس از انجام عمل خوشبندی ویژگی‌ها، برچسب تعلق هر ویژگی به یک خودرو مشخص می‌شود. برای آن که عمل ردیابی یا به عبارتی انتقال اطلاعات هر خودرو شامل موقعیت آن خودرو از یک قاب به قاب بعدی صورت گیرد از یک الگوریتم تحت عنوان تطبیق ویژگی‌ها استفاده می‌شود. این الگوریتم کمک می‌کند که بتوان به یک خودروی شناسایی شده در ابتدای ناحیه Int-ROI، یک شماره اختصاص داد و سپس این شماره را در قاب‌های بعدی دنبال کرد. همچنین باید مشخص کرد که آیا این خودرو با این شماره از دست رفته است یا از ناحیه Trc-ROI خارج شده است یا نه؟ این الگوریتم به این صورت عمل می‌کند که به هر خودرویی که ویژگی‌هایش در ناحیه Int-ROI استخراج و در ناحیه Trc-ROI ردیابی شد و توسط الگوریتم خوشبندی به عنوان ویژگی‌های یک خودرو شناسایی شد، یک شماره اختصاص داده می‌شود. در ادامه در قاب‌های بعدی، ویژگی‌های همین خودرو در ناحیه Trc-ROI ردیابی می‌شود و همین شماره دوباره اختصاص داده می‌شود تا این که خودرو از ناحیه Trc-ROI خارج شود. در جریان فرآیند تطبیق، هر خودش از ویژگی‌ها می‌تواند مربوط به خودرویی باشد که در قاب‌های قبلی وجود داشته است یا به عنوان خودروی جدید شناخته شود. الگوریتم تطبیق خودشها به صورت زیر تصریح می‌شود.

فرض کنید شکل (۷-۲) گرافی است که اطلاعات موجود در قاب جاری و ارتباط بین این خودشها با خودش‌های قاب قبل را نشان می‌دهد؛ در این گراف دایره‌های سمت چپ مشخص کننده خودروهای شماره‌شده هستند و دایره‌های سمت راست، نشان دهنده هر خودش از ویژگی‌ها در قاب جاری هستند. اتصال بین خودش‌های قاب قبلی (قاب i-1) و قاب جاری (قاب i) با خطوطی به همراه اعدادی بر روی آنها مشخص شده است. این اعداد نشان دهنده تعداد ویژگی‌هایی است که از خودروی مفروض در قاب قبلی به خودش مذکور در فریم جاری منتقل شده است. به عنوان مثال در شکل (۷-۲)، در قاب (i-1) سه خودرو با شماره‌های ۱۰۱، ۱۰۲ و ۱۰۳ وجود دارد که هر کدام تعدادی ویژگی دارند که در مرحله خوشبندی به یک خودرو در قاب جاری متعلق شده‌اند. در این شکل در قاب (i)، سه خودرو با شماره‌های ۱، ۲ و ۳ وجود دارد که خودروی یک، به ترتیب ۵ و ۶ ویژگی از خودروهای ۱۰۳ و ۱۰۲ از قاب قبلی در خود دارد و

که رلا مختصات ویژگی زام در راستای افقی از خوشه نام است. به طور مشابه نیز گستردگی خوشه ن در راستای عمودی به صورت زیر محاسبه می‌شود:

$$Spreadx(C_i) = \max(x_j) - \min(x_j); \quad \forall j \in C_i \quad (۱۹)$$

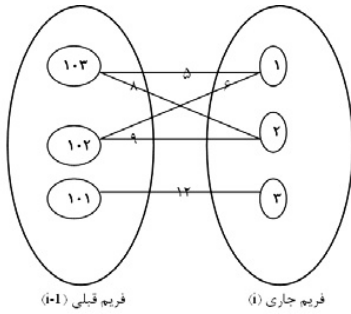
که  $x$  مختصات ویژگی زام در راستای عمودی از خوشه نام است. اگر گستردگی یک خوشه در جهت افقی یا عمودی بیشتر از یک آستانه از پیش تعريف شده باشد، آن خوشه دوباره در دو خوشه با الگوریتم K-means خوشبندی می‌شود. آستانه از پیش تعريف برای جهت افقی،  $\frac{1}{3}$  پهنهای فضای نگاشتشده مناسب با پهنهای یک باند از جاده در نظر گرفته شده است. این آستانه برای جهت عمودی در نصف بالا و پایین فضای نگاشتشده متفاوت انتخاب می‌شود. چون ویژگی‌های خودروها در نصف بالای فضای نگاشتشده به هم نزدیک هستند و در نصف پایین فضای نگاشتشده از یکدیگر دورترند، آستانه تقسیم خوشه‌ها در نصف بالا و پایین فضای نگاشتشده به ترتیب  $\frac{1}{3}$  و  $\frac{1}{4}$  ارتفاع فضای نگاشتشده در نظر گرفته می‌شود.

## ۴-۵-۲- ادغام خودش‌های مجاور مبتنی بر فاصله و آنالیز حباب

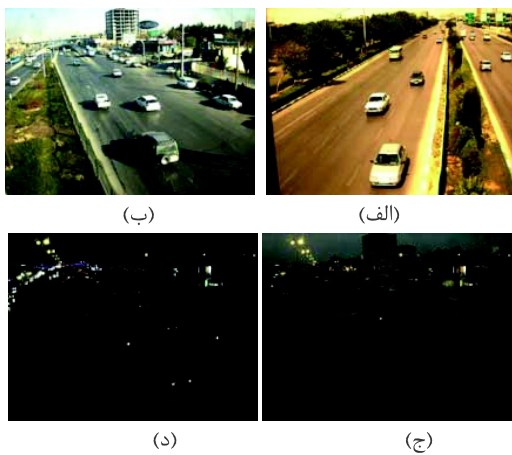
در سومین گام از فرآیند پس‌پردازش بر روی نتایج خوشبندی اولیه، هر دو یا چند خوشه که ویژگی‌های آنها بر روی یک حباب در تصویر پیش‌زمینه برچسب‌خورده قرار بگیرند، در یک خوشه ادغام می‌شوند. علاوه بر این، خودش‌هایی که فاصله بین مراکز آنها کمتر از یک آستانه از پیش تعريف شده است در یک خوشه ادغام می‌شود. آستانه از پیش تعريف‌شده مبتنی بر  $1/8$  پهنهای باند جاده در فضای نگاشتشده است. پهنهای باند نیز به صورت  $\frac{1}{3}$  پهنهای نگاشت شده در نظر گرفته می‌شود.

## ۴-۵-۳- حذف خودش‌های کوچک

در آخرین گام از فرآیند پس‌پردازش بر روی نتایج خوشبندی اولیه، خودش‌ها شامل سه ویژگی و کمتر به عنوان خودش‌های بی‌اهمیت در نظر گرفته شده و حذف می‌شوند. شکل (۴-۵-۲) نتایج گروه‌بندی الگوریتم پیشنهادی را بر روی یک قاب با جندهای خودرو نشان می‌دهد.



(شکل-۷-۷): گراف تطبیق مربوط به خودروهای دو قاب متوالی



(شکل-۳-۱): یک نمونه قاب از چهار ویدئوی آزمایشی را نشان می‌دهد. (الف) روز طبیعی، (ب) روز با سایه، (ج) غروب و (د) شب

### ۳- نتایج پیاده‌سازی‌ها

برای ارزیابی الگوریتم پیشنهادی ردهایی، ما چهار ویدئوی مختلف با شرایط نوری و آب و هوایی مختلف شامل ویدئوهای روز طبیعی، روز با وجود سایه، موقع غروب آفتاب و شب را استفاده می‌کنیم. شکل (۳-۱)، یک نمونه قاب از این ویدئوها را نشان می‌دهد. این ویدئوها با رزو لوشن ۶۴۰×۴۸۰ قاب بر ثانیه تصویربرداری شده است. برای پیاده‌سازی الگوریتم‌ها، از نرم‌افزار مطلب بر روی یک رایانه شخصی (2.6 GHz Intel CPU and 1 Gb RAM) استفاده شده است. علاوه بر این، الگوریتم‌ها در زبان برنامه‌نویسی Visual C پیاده‌سازی شده تا بتوانند از آنها در کاربرد برخط ردهایی استفاده کرد. زمان پردازش هر قاب بر روی یک سامانه صنعتی کمتر از ۴۰ میلی ثانیه به دست آمده است.

خودروی دو، به ترتیب ۸ و ۹ ویژگی از خودروهای ۱۰۳ و ۱۰۲ از قاب قبلی در خود دارد و خودروی سه، فقط ۱۲ ویژگی از خودروی ۱۰۱ از قاب قبلی را در خود دارد. فرآیند تطبیق خوشها در دو فریم متوالی در سه مرحله انجام می‌شود:

الف- خوشها باید که دارای فقط یک اتصال هستند. در این حالت به راحتی شماره خوشها در قاب قبلی به خوشها منتظر در قاب جاری منتقل می‌شود. در شکل (۷-۲)، خوشة شماره ۳ دارای این شرط است و شماره ۱۰۱ را به خود می‌گیرد.

ب- خوشها باید که دارای چند اتصال از خوشهاي قاب قبلی هستند: در این حالت برای تصمیم‌گیری در مسورد شماره هر خوشه دو مرحله تحت عنوان تقسیم و ادغام به ترتیب بر روی گراف اعمال می‌شود.

۱- تقسیم: تقسیم یعنی این که بر روی هر خوشه از قاب قبلی، خوشاهای از قاب جاری که اتصالش بیشترین مقدار را دارد، انتخاب می‌شود. این انتخاب به صورت موقتی بوده تا در مرحله بعد این انتخاب نهایی شود. به عنوان مثال در شکل (۷-۲)، برای خوشه ۱۰۳ در قاب قبلی حداقل مقدار اتصال مربوط به خوشه دو از قاب جاری است. برای خوشه ۱۰۲ در قاب قبلی حداقل مقدار اتصال مربوط به خوشه دو از قاب جاری است.

۲- ادغام: ادغام یعنی این که پس از انجام مرحله تقسیم، بر روی هر خوشه از قاب جاری، خوشاهای از قاب قبلی که اتصالش دارای بیشترین مقدار باشد، انتخاب می‌گردد؛ اگر در این مرحله، دو خوشه متفاوت از فریم قبلی، دارای بیشترین اتصال به یک خوشه در فریم جاری باشند. آن خوشه از فریم قبلی به عنوان نامزد نهایی انتخاب می‌شود که دارای بیشترین مقدار در بین این دو اتصال باشد. به عنوان مثال در شکل (۷-۲)، خوشه شماره ۲ از قاب جاری دارای دو اتصال با بیشترین مقدار (۸ و ۹) است که از خوشاهای ۱۰۲ و ۱۰۳ از قاب قبلی وارد شده است. بنابر صحبت گفته شده، حداقل مقدار اتصال مربوط به خوشه ۲ (مقدار ۹) از قاب جاری مربوط به خوشه ۱۰۲ در قاب قبلی است. بنابراین شماره ۱۰۲ به خوشه ۲ نسبت داده می‌شود.

فصل نهم

بدون عملیات‌های پس‌پردازش داشته باشیم، نتایج ردیابی به شدت تنزل پیدا خواهد کرد. برای مثال، در ویدئوی آزمایشی روز با وجود سایه، موارد پذیرش اشتباخ خودروها به ۹۸ مورد افزایش می‌یابد. نتایج ردیابی الگوریتم ما، هنگامی که فقط یک الگوریتم خوشبندی اولیه در الگوریتم پیشنهادی گروه‌بندی استفاده شود، در جدول (۱-۳) آورده شده است.

شکل (۲-۳)، مسیر ردیابی خودروها در صفحه جاده را در ۲۰۰۰ قاب اولی ویدئوی روز طبیعی به همراه یک تصویر نمونه از نتایج ردیابی را نشان می‌دهد. در شکل (۳-۲-الف)، محورهای افقی و عمودی به ترتیب عرض و طول ناحیه ردیابی هستند. این ROI به طول ۴۸۰۰ سانتی‌متر و عرض ۱۰۸۰ سانتی‌متر انتخاب شده است. تعداد خودروهای شناسایی شده در خط سه (خط سرعت) بیشتر از دو خط دیگر بوده است. در شکل (۲-۳-ب) خطوط سبز رنگ ROI نقطه‌چین و خط قرمز رنگ ممتد به ترتیب ناحیه ردیابی و موقعیت تصویربرداری پلاک را تعیین می‌کند. هنگامی که یک خودرو از خط قرمز رنگ رد شد، یک هشدار از بخش ردیابی به بخش شناسایی پلاک ارسال می‌شود تا تصویربرداری توسط دوربین دیگری انجام گیرد. در این حالت، ما این خودرو را به عنوان یک خودروی ردیابی و رشدده در نظر می‌گیریم. گوشه بالا سمت چپ تصویر شکل (۳-۲-ب)، برخی از نتایج ردیابی همچون شماره قاب (در این تصویر قاب ۲۱۸)، خودروی رشدده، شماره خطی که خودرو از آن عبور کرده و تعداد خودروهای رشدده در سه خط به صورت مجزا فراهم شده است.

### ۱-۳- نتایج ردیابی و بحث

برای ارزیابی الگوریتم پیشنهادی، نتایج الگوریتم روی چهار ویدئوی مختلف با شرایط نوری مختلف از جلو و عقب خودرو فراهم شده است. جدول (۱-۳) این نتایج را یکجا کنار هم آورده است. در این جدول، تعداد خودروهای شناسایی شده، تعداد موارد پذیرش اشتباخ خودروها و تعداد موارد رد اشتباخ خودروها بر روی چهار ویدئوی مختلف نشان داده شده است. نتایج ردیابی نشان می‌دهد که خودروها حتی در شرایط نوری شب‌هنگام، با کمترین تعداد مورد از دست رفته شناسایی شده‌اند. در حالی که الگوریتم پیشنهادی، بیشترین تعداد پذیرش اشتباخ را داشته است. برای مثال در ویدئوی آزمایشی روز با وجود سایه، الگوریتم پیشنهادی، ۵۴ خودرو را به اشتباخ شناسایی و ردیابی کرده است. این موارد اشتباخ، موقعی اتفاق می‌افتد که یک خودرو در فرآیند گروه‌بندی ویژگی‌ها به دو یا سه خودرو تقسیم می‌شود. این دسته خطاهای مشکلی در سامانه‌های ITS ایجاد نمی‌کند. بدلیل این که این موارد پذیرش اشتباخ خودروها همگی دارای شماره پلاک‌های یکسان هستند و در نرم‌افزارهای گزارش‌گیری این سامانه‌ها با یکدیگر ادغام خواهند شد. در بسیاری از موارد، الگوریتم پیشنهادی گروه‌بندی، این موارد خطا را اصلاح و جبران می‌کند؛ ولی در مقابل اگر تعداد خودروها در ابتدای ورود به محدوده ردیابی در الگوریتم خوشبندی اولیه کمتر از تعداد واقعی تخمین زده شود، این احتمال وجود دارد که در قاب‌های بعدی بدلیل سرعت متفاوت دو خودرو و یا فاصله‌گرفتن آن دو به هر دلیلی، این تعداد تصحیح شود. در غیر این صورت، اگر این اتفاق نیفتد، یکی از خودروها به عنوان خودروی از دست رفته در نتایج به حساب می‌آید. اگر ما فقط یک الگوریتم خوشبندی اولیه

(جدول-۱-۳): نتایج ردیابی الگوریتم پیشنهادی بر روی چهار ویدئوی آزمایشی

ویدئوهای آزمایشی	تعداد خودروها	تعداد خودروهای شناسایی شده	تعداد پذیرش اشتباخ	تعداد خودرو از دست رفته		
					با گروه‌بندی پیشنهادی	با گروه‌بندی اولیه
روز طبیعی	۱۲۸	۱۲۷	۱۲۷	۱	۱۴	۱
روز با وجود سایه	۱۵۶	۱۵۰	۱۵۴	۲	۵۴	۶
موقع غروب آفتاب	۲۴۱	۲۲۳	۲۲۸	۱۳	۲۹	۱۸
شب	۳۰۰	۲۹۶	۲۹۸	۲	۸	۴



مختلف، وجود سایه، انسداد و برخطبودن الگوریتم) خودرو در کاربردهای سامانه‌های حمل و نقل هوشمند غلبه کرده است.

### تشکر و قدردانی

این مقاله مستخرج از طرح پژوهشی مصوب دانشگاه آزاد اسلامی واحد نجف‌آباد است.

### مراجع

Ahmed J., Jafri M. N., Shah M., Akbar M., 2008, "Real-Time Edge-Enhanced Dynamic Correlation and Predictive Open-Loop Car Following Control for Robust Tracking", Machine Vision and Applications Journal, Vol. 19, No. 1, pp. 1-25.

Asgarizadeh M., Pourghassem H., 2015, "A Robust Object Tracking Synthetic Structure Using Regional Mutual Information and Edge Correlation-based Tracking Algorithm in Aerial Surveillance Application", Signal, Image and Video Processing, Vol. 8, No. 1, pp. 175-189.

Chien S. I., Sung S. H., 2000, "Adaptive window method with sizing vectors for reliable correlation-based target tracking", Pattern Recognition, Vol. 33, No. 2, pp. 237-249.

Choi J.Y., Sung K.S., Yang Y.K., 2007, "Multiple Vehicle Detection and tracking based on Scale-Invariant Feature Transform", IEEE Intelligent Transportation Systems Conference, pp. 528-533.

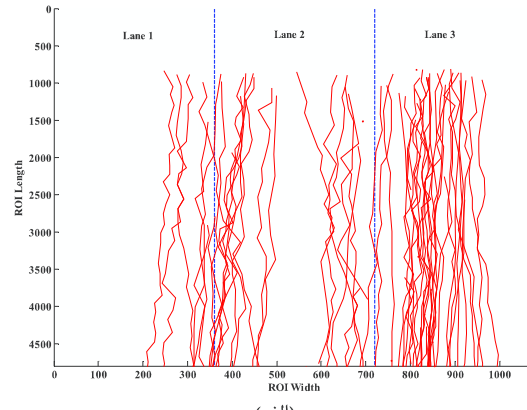
Gardner W. F., Lawton D.T., 1996, "Interactive model-based vehicle tracking," IEEE Transactions on Pattern Analysis and Machine Intelligence, Vol. 18, No. 11, pp. 1115-1121.

Harris C., Stephens M., 1988, "A Combined Corner and Edge Detector", Alvey Vision Conference, pp. 147-151.

Hu W., Tan T., Wang L., Maybank S., 2004, "A Survey on Visual Surveillance of Object Motion and Behaviors", IEEE Transactions on Systems, Man, and Cybernetics-Part C: Applications and Reviews, Vol. 34, No. 3.

Kalal Z., Mikolajczyk K., Matas J., 2010, "Tracking-Learning-Detection", IEEE Transactions on Pattern Analysis and Machine Intelligence, Vol. 6, No. 1, pp. 1-14.

Kanhere N. K., Birchfield S.T., 2008, "Real-Time Incremental Segmentation and Tracking of Vehicles at Low Camera Angles Using Stable Features", IEEE Transactions on Intelligence Transportation Systems, Vol. 9, No. 1, pp. 148-160.



(الف)



(ب)

(شکل-۲-۳): نتایج ریدیابی الگوریتم پیشنهادی برروی ویدئو آزمایشی روز طبیعی. (الف) مسیر ریدیابی خودروها در ۲۰۰۰ قاب اول ویدئو در سه خط مختلف، (ب) یک تصویر نمونه از نتایج ریدیابی.

### ۴- نتیجه‌گیری

در این مقاله، یک الگوریتم ریدیابی خودرو مبتنی بر ویزگی در کاربردهای ITS ارائه شد. در این الگوریتم، برای مدیریت مسئله گروه‌بندی در الگوریتم ریدیابی خودرو مبتنی بر ویزگی، یک الگوریتم گروه‌بندی سلسه‌مراتبی مبتنی بر ادغام و ترکیب پیشنهاد شد. در الگوریتم پیشنهادی، خوشبندی اولیه ویژگی‌های ریدیابی شده با معیارهای فاصله، گستردگی و همچنین تجزیه و تحلیل حباب، اصلاح و پالایش می‌گردد. علاوه بر این، ویژگی‌های گوش خودروها با استفاده از الگوریتم RDIAB KLT ریدیابی می‌شود. الگوریتم پیشنهادی ریدیابی بر روی چهار ویدئو آزمایشی با شرایط نورپردازی مختلف ارزیابی شد. نتایج ریدیابی فراهم شده توسط الگوریتم پیشنهادی نشان می‌دهد که الگوریتم ریدیابی ما بر اکثر چالش‌های مهم ریدیابی (همچون شرایط نورپردازی

فصل نهم



- Moravec H. P., 1977, "Towards Automatic Visual Obstacle Avoidance", 5th International Joint Conference on Artificial Intelligence, pp. 584.
- Nejati M., Pourghassem H., 2014, "Multiresolution Image Registration in Digital X-Ray Angiography with Intensity Variation Modeling", Journal of Medical Systems, Vol. 38, No. 2, pp. 1-10.
- Norollah M., Pourghassem H., Mahdavi-Nasab H., 2012, "Image Registration Using Template Matching and Similarity Measures for Dental Radiograph", Fourth International Conference on Computational Intelligence and Communication Networks (CICN2012), pp.331-335.
- Paragios N., Deriche R., 2000, "Geodesic active contours and level sets for the detection and tracking of moving objects," IEEE Transactions on Pattern Analysis and Machine Intelligence, vol. 22, No. 3, pp. 266–280.
- Priolletti A., Mogelmose A., Grisleri P., Trivedi, M. M., Broggi A., Moeslund, T.B., 2013, "Part-Based Pedestrian Detection and Feature-Based Tracking for Driver Assistance: Real-Time, Robust Algorithms, and Evaluation", IEEE Transactions on Intelligent Transportation Systems, Vol. 14, No. 3, pp. 1346-1359.
- Shi J., Tomasi C., 1994, "Good features to track", Proc. IEEE Computer Society Conference Computer Vision and Pattern Recognition, pp. 593–600.
- Tan T. N., Sullivan G. D., Baker K. D., 1998, "Model-based localization and recognition of road vehicles" International Journal of Computer Vision, Vol. 29, No.1, pp. 22–25.
- Tian B., Li Y., Li B., Wen D., 2014, "Rear-View Vehicle Detection and Tracking by Combining Multiple Parts for Complex Urban Surveillance", IEEE Transactions on Intelligent Transportation Systems, Vol. 15, No.2, pp. 597-606.
- Tomasi C., Kanade T., 1991, "Factoring image sequences into shape and motion", Proceedings the IE-EE Workshop on Visual Motion, pp. 21–28.
- Wu B. F., Kao C-C., Jen C-L., Li Y-F., Chen Y-H., 2014, "A Relative-Discriminative-Histogram-of-Oriented-Gradients-Based Particle Filter Approach to Vehicle Occlusion Handling and Tracking", IEEE Transactions on Industrial Electronics, Vol. 61, No.8, pp. 4228-4237.
- Yang J., Wang Y., Ye G., Sowmya A., Zhang B., Xu J., 2009, "FEATURE CLUSTERING FOR VEHICLE DETECTION AND TRACKING IN ROAD TRAFFIC SURVEILLANCE", IEEE International Conference on Image Processing (ICIP 2009), pp. 1145-1148.
- Kim Z. W., 2008, "Real Time Object Tracking based on Dynamic Feature Grouping with Background Subtraction", IEEE Conference on Computer Vision and Pattern Recognition (CVPR 2008), pp. 24-26.
- Kim Z., Malik J., 2003, "Fast vehicle detection with probabilistic feature grouping and its application to vehicle tracking", IEEE International Conference on Computer Vision, Vol. 1, pp. 524–531.
- Kitchen L., Rosenfeld A., 1982, "Gray level corner detection", Pattern Recognition Letters, Vol. 2, pp. 95-104.
- Koller D., Daniilidis K., Nagel H.H., 1993, "Model-based object tracking in monocular image sequences of road traffic scenes," International Journal of Computer Vision, Vol. 10, No. 3, pp. 257–281.
- Lowe D. G., 2004, "Distinctive Image Features from Scale-invariant Key points", International Journal of Computer Vision, Vol. 60, No. 7, pp. 91-110.
- Loza A., Mihaylova L., Bull D.R., Canagarajah C.N., 2007, "Structural similarity-based object tracking in multimodality surveillance videos", Machine Vision and Applications Journal, Vol. 20, No.2, pp. 71-83.
- Majidi A., Pourghassem H., Nejati M., 2012 "Vehicle Stop Detection Algorithm Based on Motion Analysis in Access Control System Application", Fourth International Conference on Computational Intelligence and Communication Networks (CICN2012), pp.690-694.
- Manoochehri M., Pourghassem H., 2012, "A Robust Feature-based Digital Image Watermarking Scheme Using Fourier-Mellin Transform", International Journal of Tomography and Statistics, Vol. 21, No. 3, pp. 33-47.
- Mazrouei F., Pourghassem H., 2012, "Vehicle Detection Based on Template Matching in Traffic Surveillance System", International Review on Computers and Software (IRE.COS.), Vol. 7, No. 3, pp. 1114-1121.
- Moghimi M., Pourghassem H., 2014, "Shadow Detection Based on Combinations of HSV Color Space and Orthogonal Transformation in Surveillance Videos", 12th Iranian Conference on Intelligent Systems (ICIS2014), pp. 1-6.
- Moghimi M., Pourghassem H., 2015, "Shadow Detection Based on Combinations of Hessenberg Decomposition and Principal Component Analysis in Surveillance Applications", Institution of Electronics and Telecommunication Engineers (IETE) Journal of Research, Vol. 61, No. 3, pp. 269-284.

Yilmaz A., Li X., Shah M., 2004, "Contour-based object tracking with occlusion handling in video acquired using mobile cameras", IEEE Transactions on Pattern Analysis and Machine Intelligence, Vol. 26, No. 1, pp. 1531-1536.



حسین پورقاسم دانشیار گروه

مهندسی پزشکی دانشکده مهندسی برق دانشگاه آزاد اسلامی واحد نجف آباد، دکترای تخصصی برق با گرایش مهندسی پزشکی را در سال ۱۳۸۷ از دانشگاه تربیت مدرس اخذ کرده است. وی مدرک کارشناسی و کارشناسی ارشد خود را در همین رشته در سال‌های ۱۳۸۱ و ۱۳۸۳ به ترتیب از دانشگاه‌های شاهد و تربیت مدرس دریافت کرده است. زمینه‌های تحقیقاتی مورد علاقه وی شامل زمینه‌های مختلف پردازش تصویر مانند نمایه‌گذاری و بازیابی تصاویر، بیومتریک، ردیابی اشیاء، آنالیز محتواهی تصاویر پزشکی و شناسایی الگو است و در این زمینه‌ها تاکنون بیش از ۱۰۰ مقاله در مجلات و کنفرانس‌های داخلی و خارجی به چاپ رسانیده است.

نشانی رایانمۀ ایشان عبارت است از:

[h\\_pourghasem@iaun.ac.ir](mailto:h_pourghasem@iaun.ac.ir)

فصلنامه

سال ۱۳۹۴ شماره ۱ پیاپی ۲۳

پژوهشگران  
www.SID.ir